

# Quelques résultats sur le nucléon en QCD sur réseau

R. Baron  
CEA/DSM/DAPNIA/SPhN  
M. Brinet  
LPSC Grenoble

14 Juin 2007

# Plan

Introduction

Théorie

Pratique

# Introduction

- ▶ Calculer dans le domaine non-perturbatif en se fondant sur la théorie exacte.
- ▶ Contrôle des erreurs (pas du réseau fini, volume fini, erreurs statistiques)
- ▶ Nécessite des moyens de calculs importants

# Plan

Introduction

**Théorie**

Pratique

# Théorie I

- ▶ Formulation fonctionnelle de la théorie quantique des champs

# Théorie I

- ▶ Formulation fonctionnelle de la théorie quantique des champs

$$\langle \mathcal{O}(\bar{\psi}, \psi, \phi) \rangle = \frac{1}{Z} \int D\bar{\psi} D\psi D\phi \mathcal{O}(\bar{\psi}, \psi, \phi) e^{iS[\bar{\psi}, \psi, \phi]} \quad (1)$$

# Théorie I

- ▶ Formulation fonctionnelle de la théorie quantique des champs

$$\langle \mathcal{O}(\bar{\psi}, \psi, \phi) \rangle = \frac{1}{Z} \int D\bar{\psi} D\psi D\phi \mathcal{O}(\bar{\psi}, \psi, \phi) e^{iS[\bar{\psi}, \psi, \phi]} \quad (1)$$

- ▶ Rotation de Wick  
 $t \longrightarrow \tau \equiv it$

# Théorie I

- ▶ Formulation fonctionnelle de la théorie quantique des champs

$$\langle \mathcal{O}(\bar{\psi}, \psi, \phi) \rangle = \frac{1}{Z} \int D\bar{\psi} D\psi D\phi \mathcal{O}(\bar{\psi}, \psi, \phi) e^{iS[\bar{\psi}, \psi, \phi]} \quad (1)$$

- ▶ Rotation de Wick  
 $t \longrightarrow \tau \equiv it$

$$\langle \mathcal{O}(\bar{\psi}, \psi, \phi) \rangle = \frac{1}{Z} \int D\bar{\psi} D\psi D\phi \mathcal{O}(\bar{\psi}, \psi, \phi) e^{-S_E[\bar{\psi}, \psi, \phi]} \quad (2)$$



## Théorie II

$$\langle \mathcal{O}(\bar{\psi}, \psi, \phi) \rangle = \frac{1}{Z} \int D\bar{\psi} D\psi D\phi \mathcal{O}(\bar{\psi}, \psi, \phi) e^{-S_W[\phi] - \bar{\psi} D[\phi] \psi}$$

- ▶ Intégration formelle sur les champs de quarks

$$\det(A) \sum_{k_1 \dots k_M} \epsilon_{j_1 \dots j_M}^{k_1 \dots k_M} (A_{k_1 i_1}^{-1}) \dots (A_{k_M i_M}^{-1}) \propto \int D\psi^\dagger D\psi e^{-\psi^\dagger A \psi} \psi_{j_1} \psi_{j_1}^\dagger \dots \psi_{j_M} \psi_{j_M}^\dagger$$

$$\langle \mathcal{O}(\bar{\psi}, \psi, \phi) \rangle = \frac{1}{Z} \int D\phi \mathcal{O}'(\phi) \det(D[\phi]) e^{-S_W[\phi]}$$

- ▶ Introduction de champs pseudo-fermioniques

$$|\det(D[\phi])| \propto \int D\xi^\dagger D\xi e^{-\xi^\dagger (D[\phi] D[\phi]^\dagger)^{-1} \xi} = \int D\xi^\dagger D\xi e^{-|D[\phi]^{-1} \xi|^2}$$

## Théorie III

$$\langle \mathcal{O}(\bar{\psi}, \psi, \phi) \rangle = \frac{1}{Z} \int D\phi D\xi^\dagger D\xi \mathcal{O}'(\phi) e^{-S_W[\phi] - \xi^\dagger (D[\phi]^\dagger D[\phi])^{-1} \xi}$$

## Théorie III

$$\langle \mathcal{O}(\bar{\psi}, \psi, \phi) \rangle = \frac{1}{Z} \int D\phi D\xi^\dagger D\xi \mathcal{O}'(\phi) e^{-S_W[\phi] - \xi^\dagger (D[\phi]^\dagger D[\phi])^{-1} \xi}$$

- But générer des  $\{\phi_i\}$  avec  $i \in \{1 \dots N\}$  suivant la distribution

$$P(\phi) = \frac{1}{Z} \int D\xi^\dagger D\xi e^{-S_W[\phi] - \xi^\dagger (D[\phi]^\dagger D[\phi])^{-1} \xi}$$

- Alors

$$\langle \mathcal{O}(\bar{\psi}, \psi, \phi) \rangle = \frac{1}{N} \sum_{n=1}^N \mathcal{O}'(\phi_n) + \mathcal{O}\left(\frac{1}{\sqrt{N}}\right)$$

# Correspondance chromodynamique quantique et physique statistique

Chromodynamique quantique	Physique statistique
Action euclidienne	Hamiltonien
Fonctions de Green $\langle 0 T\mathcal{O}_1 \dots \mathcal{O}_n 0\rangle$	Fonctions de correlation $\langle \mathcal{O}_1 \dots \mathcal{O}_n \rangle$
Masse de la plus légère particule $M$	Inverse de la longueur de correlation $\xi = \frac{1}{M}$

# Discrétisation

- ▶ Réseau hypercubique  $\Lambda$ , de taille  $N^3 * (2N)$  généralement pour les simulations avec quarks dynamiques
- ▶ Conditions aux limites périodiques pour l'espace, anti-périodiques pour le temps

# Discrétisation

- ▶ Réseau hypercubique  $\Lambda$ , de taille  $N^3 * (2N)$  généralement pour les simulations avec quarks dynamiques
- ▶ Conditions aux limites périodiques pour l'espace, anti-périodiques pour le temps
- ▶  $\psi(\mathbf{x})$  pour  $\mathbf{x} \in \Lambda$
- ▶ Différences finies

$$\partial_{\mu}\phi(\mathbf{x}) = \frac{\phi(\mathbf{x} + a\hat{\mu}) - \phi(\mathbf{x} - a\hat{\mu})}{2a}$$

# Gluons

- ▶ Invariance de jauge  $\rightarrow$  concept de dérivée covariante  $\rightarrow$  transport parallèle
- ▶ Dans le cas continu

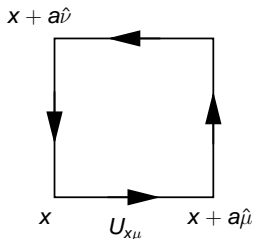
$$U(C_S) = P e^{-\int_{C_S} A_\mu dx^\mu}$$

# Gluons

- ▶ Invariance de jauge  $\rightarrow$  concept de dérivée covariante  $\rightarrow$  transport parallèle
- ▶ Dans le cas continu

$$U(C_S) = P e^{-\int_{C_S} A_\mu dx^\mu}$$

- ▶ Dans le cas discret, la plus petite distance est le pas du réseau  
 $U(x + a\hat{\mu}, x) = U_{x\mu} \in SU(3)$
- ▶ Objet invariant de jauge le plus simple : plaquette





# Gluons

- ▶ Action élémentaire

$$P(U_{x;\mu\nu}) = \beta \left( 1 - \frac{1}{3} \text{Re}(\text{Tr}(U_{x;\mu\nu})) \right)$$

- ▶ Action totale

$$S_{Wilson} = \sum_{\text{toutes plaquettes } U} P(U)$$

- ▶ Comparaison avec le cas continu

$$S_{YM} = \frac{1}{4} \int d^4x \sum_{a\mu\nu} \text{Tr}(F_{\mu\nu}^a F_{\mu\nu}^a)$$

$$\Rightarrow \beta = \frac{2 * 3}{g_0^2}$$

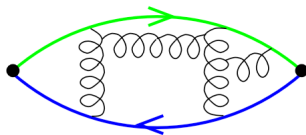
# Fermions, problèmes

- ▶ Doubling

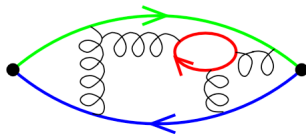
$$\tilde{G}(p) = \frac{m - \frac{i}{a} \sum_{\mu} \gamma_{\mu} \sin(ap_{\mu})}{m^2 + \frac{1}{a^2} \sum_{\mu} \sin^2(ap_{\mu})}$$

- ▶ Quenched approximation

$$\int D\bar{\Psi} D\Psi e^{-\int \bar{\psi}(x) M \psi(x)} = \det(M)$$



(A) Quenched QCD: quark loops neglected



(B) Full QCD

# Fermions, les problèmes

- ▶ Symétrie chirale : échange spineur gauche, droit dans la limite de masse nulle

$$\{D, \gamma_5\} = 0$$

- ▶ Théorème Nielsen-Ninomiya
- ▶ Relation de Ginsparg-Wilson  $\{D, \gamma_5\} = 2aD\gamma_5D$   
Si  $D$  vérifie cette relation alors (Lüscher)  $S = \bar{\psi}D\psi$  est invariant sous

$$\delta\psi = \gamma_5\left(1 - \frac{1}{2}aD\right)\psi, \quad \delta\bar{\psi} = \bar{\psi}\left(1 - \frac{1}{2}aD\right)\gamma_5$$

# Fermions, solutions

- ▶ Wilson (supprime doubling)
- ▶ Staggered (meilleur comportement chirale que Wilson)
- ▶ Overlap (très bon comportement chirale, coûteux à simuler)
- ▶ Twisted mass (bon comportement chirale, moyennement coûteux)

# Extraction quantités physiques

## Propagateur

- ▶ Element clé propagateur

$$\begin{aligned} S(x, y) &= \langle u(y)\bar{u}(x) \rangle = \frac{1}{Z} \int D\bar{\psi} D\psi D\phi u(y)\bar{u}(x) e^{-S[\bar{\psi}, \psi, \phi]} \\ &= D_{xy}^{-1} \end{aligned}$$

# Extraction quantités physiques

## Propagateur

- ▶ Element clé propagateur

$$\begin{aligned} S(x, y) &= \langle u(y) \bar{u}(x) \rangle = \frac{1}{Z} \int D\bar{\psi} D\psi D\phi u(y) \bar{u}(x) e^{-S[\bar{\psi}, \psi, \phi]} \\ &= D_{xy}^{-1} \end{aligned}$$

- ▶ Correlateurs en combinant les propagateurs  
Exemple : le pseudo-scalaire  $u\gamma_5\bar{d}$

$$C_{\alpha\beta}^{\mu\nu}(t) = \sum_{\vec{x}} \|S_{\alpha\beta}^{\mu\nu}((t, \vec{x}), 0)\|^2$$

Lorsque t devient grand, on a :

$$C(t) \approx e^{-m_{PS}t}$$

# Extraction quantités physiques

## Champs interpolants nucléon

C matrice de conjugaison de charge

- ▶ Proton  
Création

$$\epsilon_{ijk}(\bar{u}^i C \gamma_5 \bar{d}^j) \bar{u}^k$$

Destruction

$$\epsilon_{ijk}(u^i C \gamma_5 d^j) u^k$$

- ▶ Neutron  
Création

$$\epsilon_{ijk}(\bar{u}^i C \gamma_5 \bar{d}^j) \bar{d}^k$$

Destruction

$$\epsilon_{ijk}(u^i C \gamma_5 d^j) d^k$$

u, d quarks de valence

# Plan

Introduction

Théorie

Pratique



# Données

- ▶ On récupère les configurations de jauge (produites sur ApeNEXT, BlueGene...) sur une grille de données internationale
- ▶ Plusieurs types de fermions disponibles
- ▶ Nous avons utilisé les quarks twistés avec u,d dégénérés ( $N_f=2$ )
- ▶ Simulations avec  $N_f=2+1+1$  prévues

# Ordres de grandeur

- ▶ En entrée

- ▶ Paramètres utilisés
- ▶ Tailles  $24^3 \times 48$  (380Mo) et  $32^3 \times 64$  (1,2Go)
- ▶  $\beta = 3.9$
- ▶  $a\mu = 0.004, 0.0064, 0.0085$  et  $0.01$

# Ordres de grandeur

## ▶ En entrée

- ▶ Paramètres utilisés
- ▶ Tailles  $24^3 \times 48$  (380Mo) et  $32^3 \times 64$  (1,2Go)
- ▶  $\beta = 3.9$
- ▶  $a\mu = 0.004, 0.0064, 0.0085$  et  $0.01$

## ▶ En sortie

- ▶ Propagateurs (Taille : 3Go et 9,6Go respectivement)
- ▶ Correlateurs (quelques Ko)

La taille de la maille  $a$  est d'environ 0.087 fm

# Conclusion

- ▶ Premier résultats encourageants
- ▶ Calcul d'autres quantités à venir